

Molecular Analysis of GALNS Gene in eight Iranian Patients with Mucopolysaccharidosis IVA

Saberi SH^{1,2}, Kamalidehghan B³, Farshidi S^{4,5}, Houshmand M¹, Jazayeri R *⁶

1. Department of Medical Genetics, National Institute of Genetic Engineering and Biotechnology, Tehran, Iran
2. Unit of Genetic-counseling, Welfare organization, Karaj, Iran
3. Department of Medical Genetics, Faculty of Biological Sciences, Islamic Azad University, North Tehran Branch, Tehran, Iran
4. Department of Genetics, School of Medicine, Azad University of Medical Sciences, Tehran, Iran
5. Unit of Genetic-counseling, Welfare organization, Tehran, Iran
6. Non-Communicable Diseases Research Center, Faculty of Medicine, Alborz University of Medical Sciences, Karaj, Iran.

*Corresponding author. Tel: +989125663016, Fax: +982634287339, E-mail: roshanakjazayeri@gmail.com

Received: Jul 27, 2020 Accepted: Sep 20, 2020

ABSTRACT

Background & objectives: Mucopolysaccharidosis IVA (Morquio syndrome type A) is a lysosomal storage disorder caused by a mutation in the GALNS gene located on chromosome 16q24.3 and is inherited in an autosomal recessive manner. To date, more than 300 different mutations associated with MPS IVA, have been reported. Mutational heterogeneity can lead to difficulties in interpretation of molecular testing results, as novel mutations/variants of unknown significance may be detected relatively frequently. The purpose of this study is to analyze the GALNS mutations in Iranian MPS IVA patients.

Methods: Mutation screening of the GALNS gene was performed using direct sequence analysis on DNA samples from 8 unrelated Iranian MPS IVA patients.

Results: We have identified three novel and four previously reported mutations in 8 Iranian patients. We identified three novel missense mutations including: c.680T>C (p.F227S) in exon 7, c.G949C (p.G317R) and c.956G>C (p.R319T) in exon 9 in three different Iranian MPS IVA patients. Bioinformatics analysis predicted the novel mutations as being disease-causing.

Conclusion: Our findings indicate the molecular heterogeneity of GALNS gene in Iranian patients. We also managed to find three new mutations of MPS IVA in Iranian patients, which are helpful in diagnosis, genetic counseling and prenatal diagnosis in affected families.

Keywords: Mucopolysaccharidosis Type IVA; GALNS Gene; Mutation Screening; Genetic Counseling

آنالیز مولکولی ژن GALNS در ۸ بیمار ایرانی مبتلا به موکوپلی ساکاریدوز تیپ ۴

سید حسینعلی صابری^{۱*}، بهنام کمالی دهقان^۲، شهلا فرشیدی^۵، سید مسعود هوشمند^۱، روشنک جزایری^۶

۱. گروه ژنتیک پزشکی، پژوهشگاه ملی مهندسی ژنتیک و بیوتکنولوژی، تهران، ایران

۲. مرکز مشاوره ژنتیک پزشکی، سازمان بهزیستی، کرج، ایران

۳. گروه ژنتیک، دانشکده علوم زیستی، دانشگاه آزاد تهران، شعبه شمال، تهران، ایران

۴. گروه ژنتیک، دانشکده پزشکی، دانشگاه آزاد اسلامی، تهران، ایران

۵. مرکز مشاوره ژنتیک پزشکی، سازمان بهزیستی، تهران، ایران

۶. مرکز تحقیقات بیماری‌های غیر واگیر، دانشکده پزشکی، دانشگاه علوم پزشکی البرز، کرج، ایران

* نویسنده مسئول. تلفن: ۰۹۱۵۶۶۳۰۰۰۰. فاکس: ۰۲۶۳۴۲۸۷۲۳۹. پست الکترونیک: roshanakjazayeri@gmail.com

چکیده

زمینه و هدف: موکوپلی ساکاریدوز IVA (سندروم مورکیو نوع A) یک اختلال ذخیره ای لیزوژرومی ناشی از جهش در ژن GALNS بر روی بازوی بلند کروموزوم ۱۶ است و به روش اتوژرومی مغلوب به ارث می‌رسد. تا به امروز، بیش از ۳۰۰ جهش مختلف مرتبط با MPS IVA گزارش شده است. ناهمگونی جهش‌ها می‌تواند منجر به اختلاف در تفسیر نتایج آزمایش مولکولی شود، زیرا تغییرات و یا جهش‌های جدید با اهمیت نامعلوم، ممکن است به طور مکرر شناسایی شوند. هدف از این مطالعه، تحلیل جهش‌های GALNS در بیماران ایرانی مبتلا به MPS IVA بود.

روش کار: غربالگری جهش‌های ژن GALNS با استفاده از روش تووالی یابی مستقیم بر روی نمونه‌های DNA از ۸ بیمار ایرانی MPS IVA غیر خویشاوند انجام شد.

یافته‌ها: مطالعه حاضر سه جهش احتمالاً جدید و چهار جهش قابلً گزارش شده را شناسایی نمود. همچنین سه جهش جدید بد معنی (p.R319T>C) در اگزون ۷، (p.F227S>C) در اگزون ۹ و (p.G317R>C) در اگزون ۹ در سه بیمار مختلف ایرانی MPS IVA پیدا شد. تجزیه و تحلیل بیوانفورماتیک، جهش‌های جدید را عامل بیماری پیش بینی کرد.

نتیجه گیری: یافته‌های مطالعه حاضر عدم تجانس مولکولی ژن GALNS در بیماران ایرانی بود، همچنین این مطالعه موفق به یافتن سه جهش جدید عامل MPS IVA در بیماران ایرانی گردید، که در تشخیص، مشاوره ژنتیک و تشخیص قبل از تولد خانواده‌های مبتلا کمک کننده است.

واژه‌های کلیدی: موکوپلی ساکاریدوز نوع IVA، ژن GALNS، غربالگری جهش، مشاوره ژنتیک

دریافت: ۱۳۹۹/۵/۶ پذیرش: ۱۳۹۹/۶/۳۰

واقع بر روی کروموزوم 16q24.3 ایجاد می‌شود و

به روش اتوژرومی مغلوب به ارث می‌رسد [۱].
مورکیو A در اثر کمبود گالاكتوزامین ۶-سولفاتاز (N-استیل-گالاكتوزامین-۶-سولفاتاز) موقوف می‌شود و

مقدمه

موکوپلی ساکاریدوز IVA، سندروم مورکیو نوع (OMIM#253000) یک اختلال ذخیره‌های GALNS است که در اثر جهش در ژن

اختلافات در تفسیر نتایج آزمایش مولکولی شود، زیرا جیش‌های جدیدی با اهمیت ناشناخته ممکن است به طور مکرر شناسایی شوند. آنالیز مولکولی برای تأیید تشخیص و ارائه مشاوره ژنتیکی برای خانواده و آنالیزهای دوران بارداری استفاده می‌شود. تا فوریه سال ۲۰۱۸، ۳۳۴ جیش در ژن GALNS گزارش شده است که در کل ۲۰۳ جیش بدمعنی / بی معنی، ۳۵ حذف، ۲۲ جیش در محل اسپلایس، ۷ درج و ۳ بازآرایی پیچیده، تشکیل می‌دهند. جیش‌های متعددی شایع هستند؛ شایع‌ترین جیش‌های مکرر در ژن GALNS عبارتند از c.901G>T (p.G301C), c.1156C>T (p.R386C), c.757C>T (c.1A>G (p.M1V)), c.337A>T (p.I113F), c.935C>G (c.871G>A (p.A291T), p.R253W) و c.1171A>G (p.M391V, p.T312S) به ترتیب با شیوع ۱/۹, ۱/۸, ۱/۸, ۱/۸, ۱/۸, ۱/۸, ۱/۸, ۱/۸, ۱/۳, ۵/۷, ۶/۸, ۸/۹ درصد [۱۴-۱۹]. در این مطالعه آزمایش مولکولی که منجر به شناسایی اختلالات ژنتیکی در ژن GALNS در ۸ بیمار مبتلا به مورکیو A شده است گزارش می‌شود. هدف از این مطالعه، نشان دادن نقاط داغ در ژن GALNS به منظور تشخیص سریع بیماری و جلوگیری از ارجاع تمامی بیماران با علایم بالینی مشابه به تست‌های پرhzینه‌ای مانند هول آگزوم سکوتنسینگ است که این هدف کمک ارزنده‌ای را به بیماران تحت پوشش سازمان بهزیستی خواهد داشت.

روش کار بیماران

این مطالعه موردی بر روی ۸ بیمار MPS IVA از بخش‌های کودکان مراکز مختلف پزشکی ایران، انجام شد. همه بیماران مورد مطالعه حاصل ازدواج فامیلی بودند و هیچ ارتباطی بین خانواده‌ها وجود نداشت. همه روش‌ها مطابق با پارامترهای اخلاقی کمیته اخلاق مهندسی ژنتیک و بیوتکنولوژی ملی بود. قبل از ورود به مطالعه، رضایت آگاهانه از کلیه بیماران و خانواده

(GALNS) ایجاد می‌شود. نقص GALNS منجر به تجمع GAGs سولفات (KS) و کندرویتین-۶-سولفات (C6S) در لیزوژوم‌ها و بروز ناهنجاری‌های بر جسته اسکلتی و بافت همبندی می‌شود [۲]. مورکیو A^۱ نوعی اختلال نادر است که تخمين زده می‌شود در جمعیت‌های مختلف بروز متفاوتی از ۶ مورد در ۶۴۰۰ تولد زنده تا ۱ در ۷۶۰۰ داشته باشد. ازدواج‌های فامیلی با فراآنی بیش از حد اختلالات اتوژومی مغلوب همراه است [۳,۴]. فنوتیپ‌ها از فرم کلاسیک (طول عمر ۲۰ تا ۳۰ سال) با کدورت قرنیه، کوتاهی تن، بیماری دریچه قلب و دیسپلازی شدید استخوان تا اشکال خفیفتر با طول عمر عادی و عوارض خفیف استخوانی و احشایی متفاوت است. اختلال در سیستم عصبی مرکزی در هیچ یک از فنوتیپ‌های مورکیو A وجود ندارد [۶۵]. تشخیص مورکیو A با سوء ظن بالینی آغاز می‌شود و به دنبال آن آزمایش‌های غربالگری انجام می‌شود (که در صورت وجود سابقه خانوادگی شناخته شده بعضی اوقات حذف می‌شوند). الگوریتم تشخیصی مورکیو A، آزمایش اندازه‌گیری فعالیت آنزیم GALNS را که در لکوسیت‌ها یا فیبروبلاست‌ها انجام می‌شود، به عنوان استاندارد طلایی برای تشخیص مورکیو A توصیه می‌کند. تشخیص مورکیو A را می‌توان با آنالیز مولکولی ژن GALNS تایید کرد [۷,۸]. ژن GALNS، واقع روی کروموزوم ۲۴q24.3، حاوی ۱۴ آگزون به طول ۵ کیلوبایت و به ۱۵۶۶ bp تبدیل می‌شود، که گلیکوپیتید ۵۲۲ رمزگذاری می‌کند. تا به امروز، بیش از ۳۰۰ جیش مختلف مرتبه با MPS IVA از جمله جیش نقطه‌ای، جیش محل اسپلایس، حذف و درج شناسایی شده است [۹, ۱۰]. این ناهمگونی ممکن است تغییرات مهم فنوتیپ‌های مشاهده شده در بیماران MPS IVA را توضیح دهد [۱۱-۱۳]. این ناهمگونی جیش‌ها می‌تواند منجر به

^۱ Morquio A

و با روش آنالیز مولکولی تأیید شد (جدول ۱).

آنها اخذ شد. تشخیص بیماری MPS IVA برای بیماران بر اساس بررسی‌های بالینی و پاراکلینی انجام

جدول ۱. متغیرهای مطالعه حاضر و مقیاس سنجش آنها

مقیاس	نحوه اندازه‌گیری	تعریف علمی - عملی	نقش متغیر	نوع متغیر	نام متغیر	شماره
سال	پرونده	بر اساس سال شمسي تقويمی و پرسشنامه پپوست	مستقل	كمي پيوسته	سن	۱
زن / مرد	پرونده	بر اساس فنوتیپ فرد	مستقل	کیفی	جنس	۲
	پرونده	بر اساس پرونده بالینی بیمار	مستقل	کیفی	علایم بالینی	۳
استاندارد آزمایشگاهی	پرونده	بر اساس پرونده بالینی بیمار	مستقل	كمي	گلیکوزآمنو گلیکان	۴
توالی بازی	سنگر سکوئنسینگ	شناسایی واریانتهای ایجاد شده در DNA	مستقل	کیفی	واریانتهای ژنتیکی	۵

از هر dNTP ۱ میلی‌متر $MgCl_2$.۱٪ میکرومولار از هر پرایمر و ۰/۳ واحد آنزیم Taq پلیمراز با استفاده از ترموسیکلر انجام شد. DNA در ۹۴ درجه سانتیگراد به مدت ۵ دقیقه و متعاقباً ۳۵ سیکل یک دقیقه‌ای دناتوره شد. درجه حرارت مرحله آبیلینگ بر اساس درجه حرارت (درجه سانتیگراد) هر پرایمر متفاوت بود (جدول ۲).

آنالیز مولکولی DNA ژنومی با استفاده از کیت استخراج ژنومی (GeNet Bio) PrimePrep استخراج و در لوله‌های حاوی اسید اتیلن دی آمینتراستیک (EDTA) در حجم نهایی ۲ میلی لیتر جمع‌آوری شد. به طور خلاصه، واکنش PCR در حجم کلی ۲۵ میکرولیتر حاوی ۵ نانوگرم PCR ۲/۵ میکرولیتر از بافر ۱۰ میلی‌متر DNA

جدول ۲. توالی‌های پرایمرهای ژن GALNS

Primer name	Primer sequence
Pair 1	F-GCCCCACTGGTCACGAGGCAGTCCA R-CCCACCCGGCCCTGCCCGTCCC
Pair 2	F-TGGCTTCCACGGTCCCCGACACGCTCT R-ATGTCCCTTGAACCAAGGCCAGGAAGT
Pair 3	F- GTGGTATCTGTTGCTGCTCAGAACCTCCGACTGTC R- CGCACACACCTGGATGGCTGCAGGCCTGGACCT
Pair 4	F- TGTGAGCATGTATGCATATCTGTAGACCCA R- CCACCAAGCACGTGTGGGTATGAATAGCAACAGCA
Pair 5	F- AGTGAATGCTCACTGTGGTTCTCAGCCCCGTTAGAG R- CTGCGTCTGCAGGTGCTGTCTGGCTT

نشان داده شده است. توالی یابی سنگر، واریانت را در ژن‌های این بیماران مشخص کرد، که از بین آنها ۴ تغییر تک نوکلئوتیدی (missense) قبلاً در بانک‌های اطلاعاتی بیماری گزارش شده است (کلین وار، OMIM، HGMD، PubMed و ادبیات در Finch TV تا ۲۹ ژوئیه، ۲۰۱۹). بعلاوه تغییر آمنواسیدی ایجاد شده در واریانت‌ها نیز در شکل ۱ نشان داده شده است. هیچ‌کدام از آن‌ها در پایگاه داده‌های ملی جمعیت ایران (ایران‌وم) وجود ندارد (جدول ۴). تمام واریانت‌ها با آنالیز Taster Mutation، به عنوان عامل بیماری پیش‌بینی شده اند. الکتروفوروگرام برخی از واریانت‌ها در شکل ۲ آورده شده است. شش نفر از بیماران مورد بررسی دارای تغییر جانشینی بدمعنی در ژن GALNS بودند، ۲ مورد از این انواع شامل C>G در c.G949C و c.956G>C در اگزون ۹ مشخص شدند و یک جایگزینی missense (c.866A>G) در اگزون ۸ در یک بیمار تشخیص داده شد. علاوه بر این، یک جایگزین تک نوکلئوتیدی (c.374 C>T) در اگزون ۴ ژن GALNS در دو بیمار پیدا شد. یک تغییر جانشینی در اگزون ۷ در یک نمونه پیدا شد. یک دوپلیکاسیون تک بازی (c.1523dup T) در اگزون ۱۳ در دو بیمار، یافت شد.

آنالیز تعیین توالی

DNA دو زنجیره‌ای محصولات PCR از بیماران MPS با استفاده از دستگاه توالی یابی ABI خودکار Applied Biosystems 3100، شرکت کاوشن فناوران کوثر، تهران- ایران) مورد بررسی قرار گرفت. قطعات DNA از نظر هر گونه تغییر نوکلئوتیدی تأیید و سپس با استفاده از نرم افزار Finch TV (<http://www.geospiza.com/finchtv>) مورد آنالیز قرار گرفتند.

آنالیز *in silico* واریانت‌ها

تأثیر جیش‌های جدید از طریق پایگاه داده جیش ژن انسانی (HGMD) تأیید شد. به منظور پیش‌بینی اثرات عملکردی جیش‌های جدید، تغییرات توالی با استفاده از الگوریتم‌های پیش‌بینی کننده SIFT، پلی فن و <http://folding.biofold.org/i-mutant/I-Mutant2.0> (mutant2.0.html) مورد بررسی قرار گرفت.

یافته‌ها

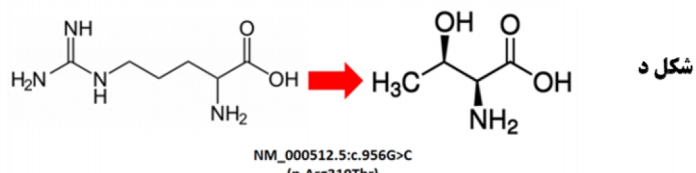
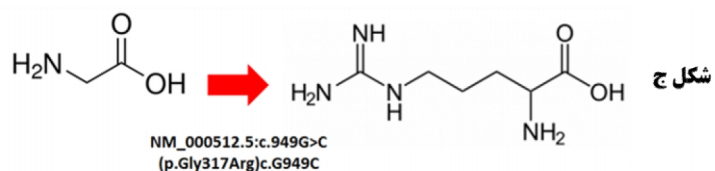
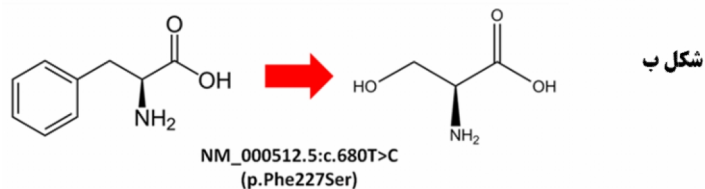
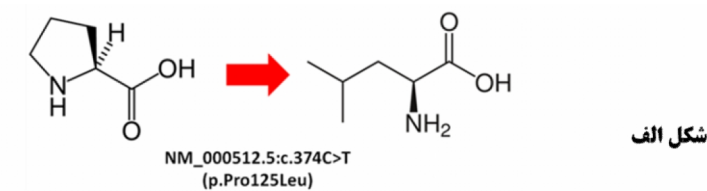
جامعه آماری شامل ۵ زن و ۳ مرد مبتلا به MPS از نوع IV A بود که خصوصیات بالینی هر بیمار در جدول ۳ ارائه شده است. تمام مناطق کدکننده اگزون‌ها و مرز اینtron‌ها و اگزون‌های ژن GALNS با استفاده از PCR در کلیه بیماران ارزیابی شد. همه پرایمرهای مورد استفاده در این مطالعه در جدول ۲

جدول ۳. خصوصیات بالینی و بیوشیمیایی بیماران MPS IVA

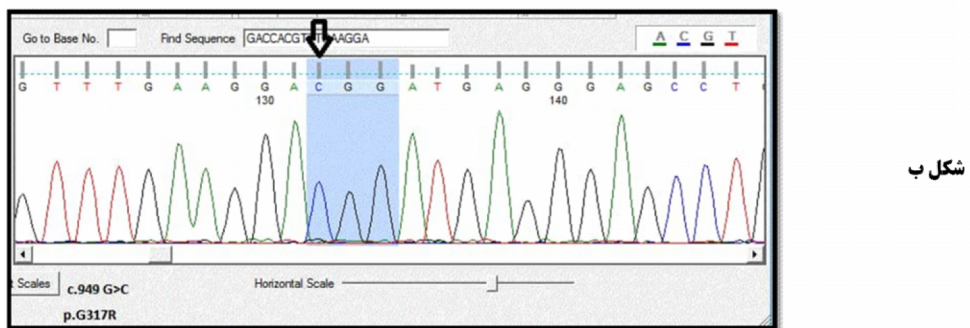
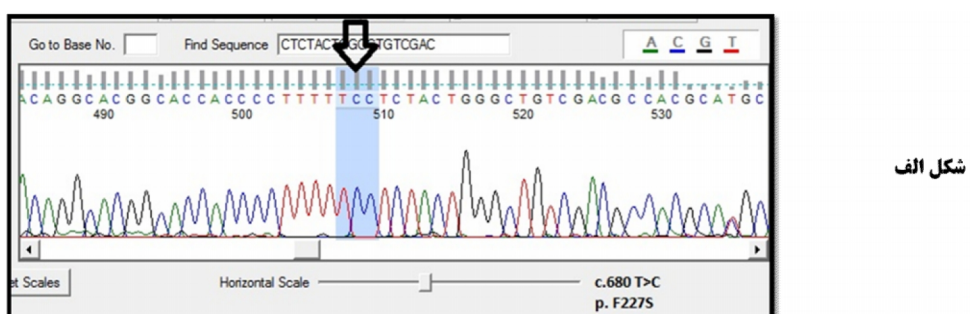
نashnouayi	مشکلات قلبی	عقب ماندگی ذهنی	جمع گلیکوز آمینو گلیکان ادراری	ناهنجاری در چهره	علایم اصلی	علایم بالینی	ازدواج فامیلی	جنس والدین	بیماران
ندارد	ندارد	ندارد	کراتان سولفات	ندارد	انحراف اولنار مج دست، مفصل شل، قرنیه ابری خفیف	دیستوستوز پیچیده، چهره بدشکل (گارگویل)، قد کوتاهی، کیفوز پیشرونده، تغییر شکل قفسه سینه	+ F	1	
ندارد	اختلال دریچه قلب	ندارد	کراتان سولفات	ندارد	مفصل شل، قرنیه ابری خفیف	قد کوتاهی، کیفوز پیشرونده، تغییر قفسه سینه	+ F	2	
ندارد	ندارد	ندارد	کراتان سولفات	ندارد	مفصل شل، قرنیه ابری خفیف	کیفوز پیشرونده، تغییر شکل قفسه سینه	+ M	3	
ندارد	ندارد	ندارد	کراتان سولفات	ندارد	انحراف اولنار مج دست	کیفو اسکولیوز پیشرونده	+ F	4	
ندارد	ندارد	ندارد	#	ندارد	فشار نخاع، مفصل شل	قد کوتاهی، اسکولیوز پیشرونده	+ M	5	
ندارد	ندارد	ندارد	کراتان سولفات	ندارد	تغییر شکل قفسه سینه، کوتاهی قد	دیستوستوز پیچیده، چهره بدشکل (گارگویل)	+ F	6	
ندارد	ندارد	ندارد	کراتان سولفات	ندارد	مفصل شل، قرنیه ابری خفیف	کیفوز پیشرونده، تغییر شکل قفسه سینه	+ F	7	
ندارد	ندارد	ندارد	#	ندارد	انحراف اولنار مج دست، مفصل شل	کیفوز پیشرونده، اسکولیوز پیشرونده	+ M	8	

جدول ۴. واریانت‌های ژن GALNS در بیماران MPS IVA

تاثیر کلینیکالی	هموزیگوت / هتروزیگوت	واریانت (نامگذاری HGVS)	اگزون/ایترنون	بیماران
پاتوژنیک	هموزیگوت	NM_000512.5:c.866A>G	۸	۱
پاتوژنیک	هموزیگوت	NM_001323544.2:c.1525_1526dupAA	۱۳	۶ و ۲
پاتوژنیک	هموزیگوت	NM_000512.5:c.374C>T (p.Pro125Leu)	۴	۵ و ۳
پاتوژنیک	هموزیگوت	NM_000512.5:c.680T>C (p.Phe227Ser)	۷	۴
پاتوژنیک	هموزیگوت	NM_000512.5:c.949G>C (p.Gly317Arg)	۹	۷
پاتوژنیک	هموزیگوت	NM_000512.5:c.956G>C (p.Arg319Thr)	۹	۸



شكل ۱. ساختار شماتیک تغییرات آمینواسیدی (الف) پرولین به لوسین، (ب) فنیل آلانین به سرین، (ج) گلیسین به آرژینین، (د) آرژینین به ترئونین



شكل ۲. برخی از تغییرات رح داده در توالی ژن GALNS (الف) c.680T>C (p.F227S) (ب) c.949G>C (p.G317R)

ارتباط داشته باشند. جهش G949C. c. قبلاً در جمعیت هند توصیف شده بود [۲۴]. تجزیه و تحلیل بیشتر با تعداد بیشتری از بیماران MPSIVA برای درک بهتر همبستگی ژنتیک و فنتوپ مهم خواهد بود. با این وجود، کلیه بیماران مورد مطالعه حاصل ازدواج فامیلی بودند. نتایج مولکولی در تشخیص پیش از تولد که بهدلیل بالا بودن میزان ازدواج خویشاوندی هنوز در ایران مشاهده می‌شود، بسیار مغایر خواهد بود.

در مطالعه دیگری که در سال ۲۰۱۷ توسط یاسایی و همکاران انجام شد، ۵ ژن درگیر در انواع مختلف موکوبی ساکاریدوز با توالی اگزوم مورد بررسی قرار گرفت. در این مطالعه، تنها یک بیمار مبتلا به MPS از نوع IVA است که دارای جهش هموزیگوت (p.G47R) ایntertron اگزون ژن GALNS در یک بیمار مبتلا به MPS IVA ناشی از ازدواج فامیلی، یک جهش c.542A>NG missense جدید در اگزون ۵. یافتند که پیش بینی می‌شد احتمالاً (p.Y181C) بیماری را باشد. [۲۶] در سال ۲۰۱۹، شفاعت و همکاران جهش c.313A>G در ژن GALNS را برای اولین بار در جهان و ایران گزارش کردند [۲۷].

نتیجه گیری

در این بررسی آنالیز مولکولی ژن GALNS در ۸ بیمار ایرانی مبتلا به MPS IVA و سه جهش جدید برای اولین بار شناسایی شد. جهش‌ها در اگزون‌های ۴، ۷، ۸، ۹ و ۱۳ بودند. بنابراین در نظر گرفته می‌شود که این اگزون‌ها در ژن GALNS در بیماران MPSIVA جزو نقاط داغ قابل توجه هستند و این امکان هست که بتوان این اگزون‌ها را به جای توالی کامل اگزون در ایران تعیین توالی کرد، اگر چه برای تأیید این نتایج، پیشنهاد می‌شود که این مطالعه در تعداد بیشتری از بیماران ایرانی تکرار شود. همچنین یافته‌های این مطالعه می‌تواند در تشخیص و مشاوره

بحث

MPS IVA به دلیل نقص آنزیم N-استیل گالاكتوزامین-۶-سولفاتاز (GALNS) ایجاد می‌شود. تجمع کوندرویتین-۶-سولفات (C6S) و KS منجر به اختلال در غضروف و رشد استخوان و نهایتاً دیسپلазی اسکلتی سیستمیک می‌شود. در این مطالعه، ژن GALNS در ۸ فرد ایرانی مبتلا به MPS IVA با استفاده از آنالیز تووالی DNA مورد بررسی قرار گرفت. میانگین میزان ازدواج خویشاوندی در ایران ۳۸/۶ درصد و شایع‌ترین شکل آن، ازدواج‌های بین بستگان درجه ۳ (۲۷/۹٪) بود [۲۰، ۲۱]. بیماران مطالعه حاضر حاصل ازدواج‌های خویشاوندی بودند و هیچ ارتباطی بین خانواده‌های MPS IVA وجود نداشت. نتایج در مجموع سه جهش جدید و ۴ جهش قبلاً گزارش شده را نشان داد. جهش تغییر قاب (c.1523dupT) در اگزون ۱۳ در دو بیمار حالت هموزیگوت یافت شد. این جهش به عنوان عامل بیماری پیش‌بینی شده است و در ExAC و G1000 یافت نشد. فراوانی آللی این جهش در بین انواع این گروه جمعیت ایرانی ۲۵ درصد مشاهده شد. جهش p.P125L missense (c.374C>T) در اگزون ۴ از p.Pro125Leu در دو بیمار مشاهده شد. GALNS در چین و جمعیت ایتالیا یافت شد [۲۲]. نشان می‌دهد که این جهش جهش تکرارشونده و ناشی از اجداد متعدد است. فراوانی آللی p.P125L در بین انواع موجود در این مطالعه ۲۵ درصد بود. همچنین سه جهش جدید (p.F227S) در اگزون ۷. c.680T>C (p.R319T) و c.956G>C (p.R319T) در اگزون ۹ در سه بیمار MPS IVA مشاهده شدند. همه آنها برای این جهش‌ها شناسایی گردید. همه آنها برای این جهش‌ها هموزیگوت هستند. هیچیک از این جهش‌ها در پایگاه‌های داده ایرانوم وجود نداشتند [۲۳]. و به عنوان جهش‌های ایجاد‌کننده بیماری پیش‌بینی می‌شدند و می‌توانند با فنتوپ شدید مشاهده شده در بیمار

این مقاله بخشی از پایان نامه دکتری است که توسط پژوهشکده ملی مهندسی ژنتیک و بیوتکنولوژی (IR.NIGEB.EC.1397.8.23.C) تصویب شماره C پشتیبانی شده است. بدینوسیله از تمامی همکاران و پرسنل آن پژوهشکده و نیز مسئولین سازمان بهزیستی و تمامی بیماران و خانواده‌های آنان که محققین را در انجام این پژوهش باری کردند تشکر و قدردانی می‌شود.

ژنتیک و نیز تشخیص قبل از تولد خانواده‌های مبتلا کمک کننده باشد.

با توجه به اینکه هزینه انجام این طرح از بودجه دانشگاهی تامین شده است، لذا محدودیت زیادی در افزایش تعداد نمونه‌ها وجود داشت و بهتر می‌بود که این مطالعه در جمعیت بزرگتری از بیماران انجام می‌شد و از طرفی بهتر می‌بود که مطالعات عملکردی (فانکشنال) بر روی این واریانت‌ها صورت می‌گرفت.

تشکر و قدردانی

References

- 1- Luning S, Chunyi L, Xiaoyu S, Ningning Z, Haipeng Z, Guizhang D. Three novel α-L-iduronidase mutations in 10 unrelated Chinese mucopolysaccharidosis type I families. *Genet Mol Biol*. 2011 Apr; 34(2):195-200.
- 2- Ogawa T, Tomatsu S, Fukuda S, Yamagishi A, Rezvi GMM, Sukegawa K, et al. Mucopolysaccharidosis IVA: screening and identification of mutations of the N-acetylgalactosamine-6-sulfate sulfatase gene. *Hum Mol Genet*. 1995 May;4(1):341–349.
- 3- Darr A, Small N, Ahmad WI, Atkin K, Corry P, Modell B. Addressing key issues in the consanguinity-related risk of autosomal recessive disorders in consanguineous communities: lessons from a qualitative study of British Pakistanis. *J Community Genet*. 2016 Sep;7(1):65-79.
- 4- Kumar P, Henikoff S. Predicting the effects of coding non-synonymous variants on protein function using the SIFT algorithm. *Nat Protoc*. 2009 Jun;4(7):1073.
- 5- Galimberti C, Madeo A, Di Rocco M, Fiumara A. Mucopolysaccharidoses: early diagnostic signs in infants and children. *Ital J Pediatr*. 2018 Sep;44(2):7-16.
- 6- Fu H, DiRosario J, Killedar S, Zaraspe K, McCarty DM. Correction of neurological disease of mucopolysaccharidosis IIIB in adult mice by rAAV9 trans-blood-brain barrier gene delivery. *Mol Ther*. 2011 Jun; 19(6): 1025-33.
- 7- Wood TC, Harvey K, Beck M, Burin MG, Chien YH, Church HJ, et al. Diagnosing mucopolysaccharidosis IVA. *J Inherit Metab Dis*. 2013 Feb;36(1):293–307.
- 8- Wang Z, Zhang W, Wang Y, Meng Y, Su L, Shi H, et al. Mucopolysaccharidosis IVA mutations in Chinese patients. *J Hum Genet*. 2010 Jun; 55(1):534–540
- 9- Morrone A, Tylee K, Al-Sayed M, Brusius-Facchin A, Caciotti A, Church H, et al. Molecular testing of 163 patients with Morquio A (Mucopolysaccharidosis IVA) identifies 39 novel GALNS mutations. *Mol Genet Metab*. 2014 Jun;112(2):160-70.
- 10- Morrone A, Caciotti A, Atwood R, Davidson K, Du C, Francis, et al. Morquio A syndrome-associated mutations: A review of alterations in the GALNS gene and a new locus-specific database. *Hum Mut*. 2014 Aug;35(11):1271-9.
- 11- Leong HY, Azize NAA, Chew HB, Keng WT, Thong MK, Khalid MKNM, et al. Clinical, biochemical and genetic profiles of patients with mucopolysaccharidosis type IVA (Morquio A syndrome) in Malaysia: the first national natural history cohort study. *Orphanet J Rare Dis*. 2019 Jun;14(1):143.
- 12- Tomatsu S, Nishioka T, Montaño A, Gutierrez M, Pena O, Orii K, et al. Mucopolysaccharidosis IVA: identification of mutations and methylation study in GALNS gene. *J Med Genet*. 2004 Oct;41(7):e98-e.

- 13- Tomatsu S, Montaño AM, Oikawa H, Giugliani R, Harmatz P, Smith M, et al. Impairment of body growth in mucopolysaccharidoses. *Monit Heal Dis.* 2012 Oct;1:2091–2117.
- 14- Kato Z, Fukuda S, Tomatsu S, Vega H, Yasunaga T, Yamagishi A, et al. A novel common missense mutation G301C in the N-acetylgalactosamine-6-sulfate sulfatase gene in mucopolysaccharidosis IVA. *Hum Genet.* 1997 Jun;101:97–101.
- 15- Montaño AM, Kaitila I, Sukegawa K, Tomatsu S, Kato Z, Nakamura H, et al. Mucopolysaccharidosis IVA: characterization of a common mutation found in Finnish patients with attenuated phenotype. *Hum Genet.* 2003 Mar;113:162–9.
- 16- Tomatsu S, Dieter T, Schwartz IV, Sarmient P, Giugliani R, Barrera LA, et al. Identification of a common mutation in mucopolysaccharidosis IVA: correlation among genotype, phenotype, and keratan sulfate. *J Hum Genet.* 2004; 49:490–4.
- 17- Tomatsu S, Filocamo M, Orii KO, Sly WS, Gutierrez MA, Nishioka T, et al. Mucopolysaccharidosis IVA(Morquio A): identification of novel common mutations in the N-acetylgalactosamine-6-sulfate sulfatase (GALNS) gene in Italian patients. *Hum Mutat.* 2004 Jun; 24:187–8.
- 18- Tomatsu S, Fukuda S, Cooper A, Wraith JE, Rezvi GM, Yamagishi A, et al. Mucopolysaccharidosis type IVA: identification of six novel mutations among non-Japanese patients. *Hum Mol Genet.* 1995 Apr;4:741–3.
- 19- Yamada N, Fukuda S, Tomatsu S, Muller V, Hopwood JJ, Nelson J, et al. Molecular heterogeneity in mucopolysaccharidosis IVA in Australia and Northern Ireland: nine novel mutations including T312S, a common allele that confers a mild phenotype. *Hum Mutat.* 1998 Jan; 11:202–8.
- 20- Saadat M, Zarghami M. Consanguineous marriages among Iranian Mandaeans living in southwest Iran. *J Biosoc Sci.* 2018 Jun;50(4):451-6.
- 21- Rafiee L, Saadat M. Prevalence of consanguineous marriages among Iranian Georgians. *J Biosoc Sci.* 2011 Jun;43(1):47-50.
- 22- Zhao Y, Meng Y, Guo Y, Du M, Ai Y. Identification of a novel mutation of GALNS gene from a Chinese pedigree with mucopolysaccharidosis type IV A. *Chinese J Med Genet.* 2011 Jun;28(3):241-6.
- 23- Fattahi Z, Beheshtian M, Mohseni M, Poustchi H, Sellars E, Nezhadi SH, et al. Iranome: A catalog of genomic variations in the Iranian population. *Hum Mutat.* 2019 Jul;40(11):1968-84.
- 24- Bidchol AM, Dalal A, Shah H, Nampoothiri S, Kabra M, Gupta N, et al. GALNS mutations in Indian patients with mucopolysaccharidosis IVA. *American J Med Genet Part A.* 2014 Sep;164(11):2793-801.
- 25- Yassaee VR, Hashemi-Gorji F, Miryounesi M, Rezayi A, Raves Z, Yassaee F, et al. Clinical, biochemical and molecular features of Iranian families with mucopolysaccharidosis: A case series. *Clin Chim Acta.* 2017 Nov; 1;474:88-95.
- 26- Seyedhassani SM, Hashemi-Gorji F, Yavari M, Mirfakhraie R. Novel missense mutation in the GALNS gene in an affected patient with severe form of mucopolysaccharidosis type IVA. *Clin Chim Acta.* 2015 Oct;23: 450:121-4.
- 27- Shafaat SM, Hashemi M, Majd A, Abiri M, Zeinali S. Genetic assessment of mucopolysaccharidosis type IV and the first pathological mutation of c. 313A> G in the iranian population. *Horizon Med Sci* 2020 spring, 26(2):182-191.